

# ORIENTAÇÕES PARA A AVALIAÇÃO PRÁTICA

## CURSO DE SISTEMAS DE INFORMAÇÃO

### MATÉRIA: ENGENHARIA DE PROGRAMAS

**Professor: Diego Frias**

**Semestre: 2021.2**

#### 1. Introdução:

A atividade prática tem como finalidades:

##### I. Consolidar os conhecimentos sobre:

1. A dependência hierárquica 1:n nos níveis problema-algoritmo e algoritmo-código fonte
2. A técnica analítica vista no curso para quantificação do número de operações (a,o,c) realizadas por um código fonte, em função do “tamanho” dos dados e dos valores dos “parâmetros” (configuração paramétrica do método).
3. A técnica empírica (experimental) vista no curso para quantificação do tempo de execução de um código fonte, em função do “tamanho” dos dados e dos valores dos “parâmetros” (configuração paramétrica do método).

##### II. Desenvolver habilidades para:

1. Obter a função vetorial “número de operações” do tamanho dos dados (n) e da configuração paramétrica do método (K - vetor de parâmetros distintos).
2. Obter o “modelo analítico” do “custo (computacional)” do código fonte como a norma L1 (soma das componentes) da função vetorial do número de operações.
3. Construir e validar setup experimental para a medição confiável (estatisticamente fundamentada) do tempo de execução de código fonte com determinados valores de n e K.
4. Planejar um programa de experimentos com vistas a medir o tempo médio e o desvio padrão do tempo de execução do código fonte estudado com diferentes combinações de n x K, que chamamos estados de teste (E). O conjunto de todos os estados de teste é chamado de Domínio do Teste (D).
5. Realizar a medição do tempo médio e do desvio padrão do código fonte em D, obtendo os “resultados experimentais”.
6. Visualizar os resultados experimentais:
  - i. Tempos médios (+/- desvio padrão) vs n para diferentes K
  - ii. Tempos médios (+/- desvio padrão) vs K para diferentes n
7. Avaliar o modelo analítico (ponto 1) no domínio de teste D, obtendo os “resultados teóricos”
8. Visualizar os resultados teóricos:
  - i. custo computacional vs n para diferentes K
  - ii. custo computacional vs K para diferentes n
9. Comparar “qualitativamente” os resultados teóricos e experimentais (plots 6.i vs 8.i e plots 6.ii vs 8.ii)
10. Comparar “quantitativamente” os resultados teóricos e experimentais plotando os custos vs tempos médios em D
11. Obter a função linear de regressão tempo médio vs custo:  $\text{tempo} = a + b * \text{custo}$
12. Calcular o número de operações por segundo (FLOPS) do sistema computacional utilizado no estudo:  $\text{FLOPS} = 1/b$ , se e somente se 'a' (o intercepto) tende a zero,  $a \ll 1$  segundo.

#### 2. Problema abordado:

Neste semestre o problema abordado é a classificação não supervisionada de imagens (segmentação). Os algoritmos selecionados são:

##### I. K-means

##### II. Método de limiar de OTSU

Dataset: 20 imagens de rosto de diferentes resoluções + 1 imagem de calibração

**OBSERVAÇÃO:** É importante notar que:

- Nosso objetivo não é resolver o problema da melhor forma possível, o que é objetivo de outra

matéria (Inteligência Artificial). Aqui estamos interessados na caracterização do custo computacional de 1 código fonte que implementa 1 algoritmo de solução de 1 problema de IA.

- Contudo, como é necessário garantir que o código fonte resolve de forma correta o problema, é necessário “verificar” a corretude do código fonte. Como o problema é a segmentação de imagens, uma avaliação qualitativa da corretude do código consiste em plotar a imagem de calibração junto com as imagens segmentadas com 2 e 3 clusters.

### 3. Descrição geral dos métodos (algoritmos):

A maioria dos algoritmos de aprendizado de máquina possuem 3 fases consecutivas: (1) **Inicialização**: atribuição de valor às variáveis que irão mudar no processo iterativo, (2) **Processo iterativo**: mudança de valor das variáveis do modelo, e (3) **Finalização**: interrupção do processo iterativo quando determinada “condição” de parada é satisfeita. As “condições de parada” podem ser “positivas” quando sinalizam o sucesso da tarefa executada, ou “negativas” quando indicam falha do processo iterativo, por exemplo: número excessivo de iterações, divergência no tempo do critério de parada esperado a convergir para determinado valor, etc.

### 4. Análise Quantitativa do Custo Computacional:

Devido à estrutura dos algoritmos estudados, a fórmula geral do número de operações tem a forma

$$N(n,K,m) = N_{ini}(n,K) + m * N_{iter}(n,K) \quad (\text{fórmula geral do método})$$

onde:

- $N_{ini}(n,K)$  é o número de operações no bloco de inicialização, que geralmente depende do parâmetro “K” e pode também depender do tamanho dos dados “n”
- $N_{iter}(n,K)$  é o número de operações realizadas em 1 iteração completa, que geralmente depende do tamanho dos dados “n” e do parâmetro “K”
- “m” é o número de iterações

Os termos  $N_{ini}$  e  $N_{iter}$  obedecem à fórmula geral estudada

$$N(n,K) = g1 + X * (gr + ex) \quad (\text{fórmula geral dos blocos repetitivos})$$

onde:

- g1 são as operação de gestão do laço que se realizam uma única vez,
- gr são as operações repetitivas na gestão do laço,
- ex são as operações que se executam dentro do laço, e
- X são as vezes que o laço se repete.

### 5. Descrição dos dados:

Cada instância de dado é uma imagem colorida (RGB) com L x A (largura x altura) pixels de cor  $c = [R,G,B]$ , onde a intensidade de cada cor varia no intervalo 0:255.

Cada imagem é então considerada uma coleção de  $n=A*L$  pontos num espaço de 3 dimensões.

A distância a ser usada é a Euclidean (norma L2) por padrão, ou seja, dados 2 pontos  $p=[R_p,G_p,B_p]$  e  $q=[R_q,G_q,B_q]$  a distância (contraste) “entre as cores” deles vem dada por

$$d(p,q)=\text{sqrt}((R_p-R_q)^2+(G_p-G_q)^2+(B_p-B_q)^2)$$

Importante lembrar que os pontos  $p$  e  $q$ , por se tratar de uma imagem 2D, são “localizados” com duas coordenadas, ou seja a “posição” do ponto  $p$  é um vetor bi-dimensional, que vamos denotar por  $P_p=[x_p,y_p]$ , para  $x_p=0,1,\dots,L-1$  e  $y_p=0,1,\dots,A-1$  (IDEM para  $P_q$ ). Por isso a “distância geométrica” entre 2 pontos  $P_p$  e  $P_q$ , vem dada por

$$D(P_p,P_q)=\text{sqrt}((x_p-x_q)^2+(y_p-y_q)^2)$$

No processo de segmentação usa-se apenas o contraste ou a distância  $d(p,q)$  entre as cores. A distância geométrica  $D(P_p,P_q)$  foi introduzida apenas para esclarecer o fato que o conceito de distância usado em segmentação não tem nada a ver com a distância entre 2 pixels na imagem.

Como a distância geométrica não tem utilidade neste tipo de problema (nos métodos desenvolvidos até agora) é comum transformar as imagens 2D lidas em vetores 1D usando uma função `flatten()`. Nós vamos “denotar” a posição dos pontos no vetor 1D obtido via `flatten()` de uma imagem

2D, por  $P_i = 0, 1, \dots, n-1$ , onde  $n=A*L$  (definido anteriormente) e a cor do ponto na posição  $P_i$  por  $i=[R_i, G_i, B_i]$ . Então, a distância em cor entre 2 pontos  $i$  e  $j$  vem dada por

$$d(i, j) = \sqrt{(R_i - R_j)^2 + (G_i - G_j)^2 + (B_i - B_j)^2}$$

para  $i, j$  variando entre 0 e  $n-1$ .

### 5.1. Transformando imagens coloridas (RGB) em escala de cinza

O método OTSU trabalha com imagens preto-e-branco, nas quais os pixels tem um único valor associado com a “intensidade” da cor. Ou seja em vez da cor do pixels vir definida por 3 valores, é definida por um único valor entre 0 (preto) e 255 (branco), o que estabelece uma escala de cores cinza. Existem diversas formas de transformar imagens coloridas em escala de cinza respeitando o conceito perceptivo/sensorial de luminância (para mais detalhes consulte <https://en.wikipedia.org/wiki/Grayscale>). Aqui vamos usar os pesos [0.2989, 0.5870, 0.1140] para os canais R, G, B de forma que a cor C na escala de cinza de um pixel com valores RGB = [R, G, B] vem dado por:

$$C = \text{int}(0.2989*R + 0.5870*G + 0.1140*B) \quad (\text{Eq. transformação})$$

As equipes que estudarão o método OTSU precisam transformar as imagens RGB em imagens monocromáticas (escala de cinza) calculando a cor C (que varia no intervalo de 0 a 255) para cada pixel da imagem sendo segmentada. Este pré-processamento faz parte do método, pelo que as operações envolvidas precisam ser levadas em conta no estudo analítico do custo computacional da inicialização.

## 6. Metodologia:

A atividade prática consta das seguintes 9 fases de trabalho, sendo a última a de apresentação de resultados:

- I. Construção de programa para a 'leitura' do dataset e 'processamento' do mesmo
  1. Leitura de um número dado de imagens do dataset
  2. Construção do código fonte de processamento com alguma das alternativas seguintes:
    - i. Programar o algoritmo a partir de modelo analítico-matemático-descritivo em artigo/página de referência fornecido.
    - ii. Montar código usando código-fonte de bibliotecas abertas (substituindo as chamadas a funções pelo código da função chamada).
- II. Obtenção da função vetorial “número de operações” do tamanho dos dados (n) e da configuração paramétrica do método (K - vetor de parâmetros distintos) do código fonte de processamento (ponto b).
- b). Obtenção do “modelo analítico” do “custo (computacional)” do código fonte como a norma L1 (soma das componentes) da função vetorial do número de operações.
- III. Construção e validação de setup experimental para a medição confiável (estatisticamente fundamentada) do tempo de execução de código fonte com determinados valores de n e K. A validação é feita executando 100 vezes o código fonte para uma única combinação de n e K<sup>1</sup>, medindo o tempo de execução em cada rodada. Os tempos medidos nas 100 rodadas são usados para calcular o tempo médio 'Tm' e o desvio padrão dele 'dT', para calcular o índice de estabilidade 'Ixe' dado por  $Ixe = dT/Tm$  que deve ser menor que 0.15. Em caso contrário, será preciso usar um servidor virtual simples ou desligar serviços (internet, bluetooth, aplicativos de monitoração do computador), etc.
- IV. Planejamento do programa de experimentos com vistas a medir o tempo médio e o desvio padrão do tempo de execução do código fonte estudado com diferentes combinações de n x K, que chamamos estados de teste (E). O conjunto de todos os estados de teste é chamado de Domínio do Teste (D). Definir o número de repetições.
- V. Avaliação do modelo analítico (ponto 1) no domínio de teste D, obtendo os “resultados teóricos” (usando excel). Visualização dos resultados teóricos:
  - i. custo computacional de inicialização “C<sub>ini</sub>” vs n para diferentes K
  - ii. custo computacional de inicialização “C<sub>ini</sub>” vs K para diferentes n
  - iii. custo computacional por iteração “C<sub>iter</sub>” vs n para diferentes K
  - iv. custo computacional por iteração “C<sub>iter</sub>” vs K para diferentes n
- VI. Medição do tempo médio e do desvio padrão do código fonte em D, obtendo os “resultados

1. No caso de processamento de imagens usamos uma imagem de teste com K=3.

experimentais” (“tempo de inicialização -  $T_{ini}$ ” e “tempo por iteração -  $T_{iter}$ ” em cada experimento). Visualização dos resultados médios experimentais:

- Tempos médios (+/- desvio padrão) vs n para diferentes K
- Tempos médios (+/- desvio padrão) vs K para diferentes n
- Número de iterações (+/- desvio padrão) vs n para diferentes K

#### VII. Análise de Resultados:

- Comparação “qualitativa” dos resultados teóricos e experimentais (plots 6.i vs 8.i e plots 6.ii vs 8.ii)
- Comparação “quantitativa” dos resultados teóricos e experimentais plotando os custos vs tempos médios em D.

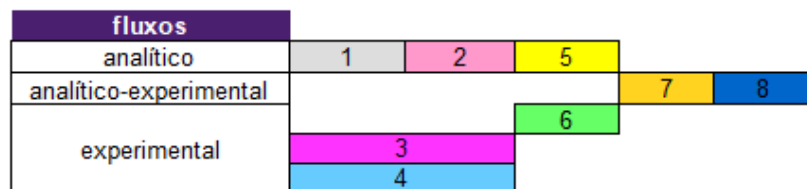
VIII. Obtenção da função linear de regressão tempo médio vs custo:  $\text{tempo} = a + b \cdot \text{custo}$ . Cálculo do número de operações por segundo (FLOPS) do sistema computacional utilizado no estudo:  $\text{FLOPS} = 1/b$ , se e somente se 'a' (o intercepto) tende a zero,  $a \ll 1$  segundo.

IX. Elaboração de relatório com os resultados de todos os passos acima. Gravação e envio de vídeo com a apresentação do relatório acima pela equipe (balanceando a participação dos membros)

## 7. Fluxo do projeto

Levando em conta a natureza (analítica ou experimental) das fases da atividade e a precedência obrigatória entre elas, se definem 2 fluxos paralelos que conduzem a um fluxo final analítico-experimental conforme mostrado na figura a seguir:

fase número	descrição	depois de
1	codificação	-
2	fórmula custo analítico	1
3	setup experimental	-
4	plano experimental	-
5	cálculo do custo	2
6	medição do tempo	2 & 3 & 4
7	análise de resultados	5 & 6
8	cálculo FLOPS	7



## 8. Resultados Esperados (no relatório e na apresentação) - Entregáveis:

- Código fonte executando corretamente em ambiente computacional comprovadamente estável (fases 1 e 3)
- Domínio de Teste configurado definindo malha paramétrica (valores de n vs de K) (fase 4)
- Fórmula do custo obtida (fase 2)
- Custo computacional calculado (inicialização e por iteração) na malha paramétrica definida pelo Domínio de Teste (tabela) (fase 5)
- Tempos de execução (inicialização e por iteração) medidos 20 vezes em cada ponto da malha paramétrica definida pelo Domínio de Teste (tabela) (fase 6 primeira parte)
- Tempos de execução (inicialização e por iteração) médios e desvio padrão calculados em cada ponto da malha (tabela). (fase 6)
- Gráficos da dependência do custo (inicialização e por iteração) e dos tempos médios de inicialização e por iteração em função de n e de K. (fase 7 primeira parte)
- Texto com análise comparativa das dependências do custo e do tempo com n e K: Quão similares ?

- Quais são as diferenças ? (fase 7)
9. Gráfico Tempo vs Custo com linha de regressão  $y=a+b*x$ , mostrando o intercepto “a” e o slope “b”. (pode ser em excel) (fase 8 primeira parte)
  10. FLOPS calculado. (fase 8)

### 3. Avaliação:

Cada fase do projeto descrita na seção de Metodologia terá a seguinte pontuação:

fase número	descrição	nota MÁXIMA
1	codificação	1.00
2	fórmula custo analítico	2.00
3	setup experimental	0.50
4	plano experimental	0.50
5	cálculo do custo	2.00
6	medição do tempo	2.00
7	análise de resultados	1.50
8	cálculo FLOPS	0.50
TOTAL		10.00

A Nota do trabalho prático acima terá peso 0.7 enquanto a nota do relatório escrito + apresentação (vídeo) terá peso 0.3 na nota final do crédito avaliado.

### 4. Prazo:

Datas de entregas parciais e final:

- 31-10-2021 - fases 1, 3 e 4 (codificação, setup e plano experimental)
- 07-11-2021 - fase 2 (fórmula do custo)
- 14-11-2021 - fases 5 e 6 (cálculo do custo e medições de tempo)
- 21-11-2021 - fases 7 e 8 (análise de resultados e cálculo dos FLOPS)
- 28-11-2021 - relatório e vídeo da apresentação (até as 23:59). Atraso implica em redução da nota em 0.2 por dia.

**BOM TRABALHO!**

# ANEXO - DESCRIÇÃO DOS MÉTODOS DE SEGMENTAÇÃO DE IMAGENS

## 1. K-MEANS

Assume-se que estamos processando imagens mapeadas em 1D após sua leitura no arquivo de entrada (este pré-processamento não se inclui no cálculo nem na medição)!

**Parâmetros:** K - número de cluster a serem formados

**Dimensionador:** n = A\*L número de pontos na imagem de resolução A x L

- **Inicialização (ingênua):** Selecione aleatoriamente K pontos como centroides dos clusters:  $C_k$ ,  $k=1,2,\dots,K$  (sendo  $C_k$  a cor do centroide k-ésimo). O centroide k-ésimo está na posição  $p_k$ ,  $k=1,2,\dots,K$  do vetor de pontos  $P_i$ ,  $i=0,1,\dots,n-1$ .

% pseudo-código

```
init_time()
for k=1:K {
    % seleciona um ponto aleatório como centroide do cluster k-ésimo
    pk=int(n*rand()) % se a função rand() retorna um número entre 0 e 1
    Rc[k]=R[pk]
    Gc[k]=G[pk]
    Bc[k]=B[pk]
}
tempo de inicialização = get_time()
```

- **Processo Iterativo e Finalização:** Agrupe os pontos mais próximos a cada um dos K centroides, atribuindo um cluster (classe) a cada ponto na imagem. Monitore se a classe atribuída a algum ponto é diferente da classe atribuída anteriormente. Se não houve mudança de atribuição finalize as iterações, mas, em caso contrário, atualize a cor dos K centroides e inicie uma nova iteração.

% pseudo-código:

```
init_time()
class[0:n-1]=-1 % inicialização - todos os pontos são atribuído a uma classe
inexistente (-1)
iter=0
repeat while true: { % gerencie iterações
    iter+=1
    change=0 % -> set flag of change to zero
    for i=0:n-1 { % varre lista de pontos
        min_dist=1e10
        for k=0:K-1 { % calcula a distância do ponto i a cada cluster K
            d=sqrt((R[i]-Rc[k])^2+(G[i]-Gc[k])^2+(B[i]-Bc[k])^2)
            if d<min_dist { % registra a menor distância
                min_dist=d
                if change==0 & class[i]<>k { % notifico que atribuição mudou
                    change=1
                }
            }
            % atualiza a classe do ponto i
            class[i]=k
        }
    } % fim do laço para achar o cluster mais próximo ao ponto
} % fim do laço pelos pontos da imagem
if change==0 { % se não houve mudança de atribuição finaliza
    print('convergencia obtida')
    break % finaliza o repeat
}
```

```

else if change>0 { % se houve mudança atualize os centroides dos clusters
    for k=0:K-1 {
        Rc[k]=0
        Gc[k]=0
        Bc[k]=0
        m[k]=0 % número do pontos no cluster k
        for i=0:n-1 {
            if class[i]==k {
                Rc[k]+=R[i]
                Gc[k]+=G[i]
                Bc[k]+=B[i]
                m[k]+=1
            }
        }
        % divido entre m para achar a média
        Rc[k]/=m[k]
        Gc[k]/=m[k]
        Bc[k]/=m[k]
    }
} % fim das iterações
time=get_time()
tempo_por_iteração = time/iter
% output: tempo_por_iteração e iter

```

## 2. Método baseado em limiar de OTSU

Processando imagens mapeadas em 1D após sua leitura no arquivo de entrada. Considere a imagem 1D colorida dada pelos vetores  $R[i]$ ,  $G[i]$  e  $B[i]$ ,  $i=0,2,\dots,n-1$ , com as intensidades das 3 cores básicas, vermelho, verde e azul, em cada pixel da imagem.

**Parâmetros:** K - número de cluster a serem formados

**Dimensionadores:**

1.  $n = A*L$  número de pontos na imagem de resolução  $A \times L$
  2.  $M = 256$  intensidade máxima de uma cor
- **Inicialização:** Consiste em:
    1. Transformação da imagem colorida em preto-e-branco como descrito acima, atribuindo a cada pixel da imagem uma cor entre 0 e 255.

% pseudo-código imagem colorida para tons de cinza

init\_time()

for  $i=0:n-1$  { % varre lista de pontos

$C[i]=\text{int}(0.2989*R[i]+0.5870*G[i]+0.1140*B[i])$  % os tres vetores R,G,B são condensados no vetor C

}

2. Calcular o número de pixels de cada cor de 0 a 255 (histograma p)

% pseudo-código para cálculo do histograma

for  $j=0:M-1$  {  $p[j]=0$  } % inicializando com 0 todas as cores

for  $i=0:n-1$  { % varrendo os pixels contando o numero de cada cor

$p[C[i]]+=1$

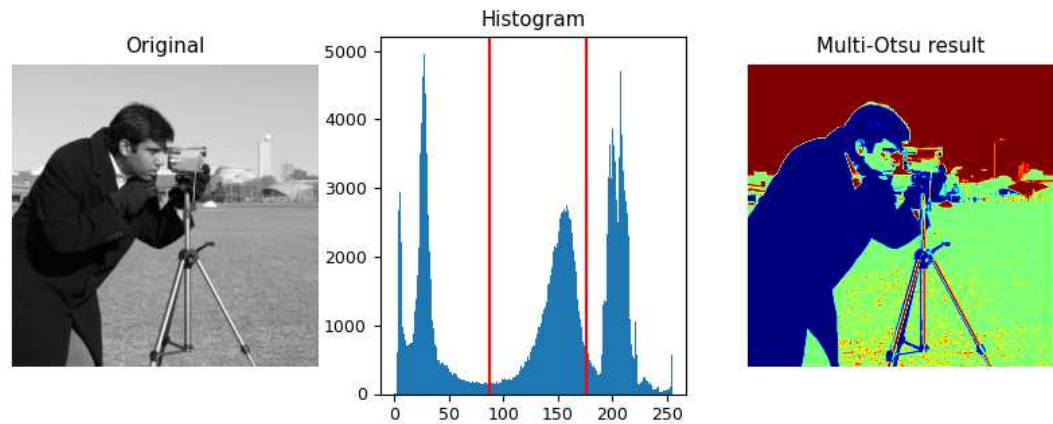
}

for  $j=0:M-1$  {  $p[j]=p[j]/n$  } % normalizando o histograma p

tempo de inicialização = get\_time() % medição do tempo de inicialização

- **Processo iterativo:** Consiste em dividir as  $M$  cores do histograma em  $K$  regiões consecutivas, uma para cada classe. Isto implica na necessidade de achar  $K-1$  fronteiras  $f_0 < f_1 < \dots < f_{K-1}$  (cores) entre as  $K$  classes, usando como critério maximizar a variância interclasses (veja descrição do modelo matemático embaixo do código). Como temos  $M$  cores  $c = 0,1,\dots,M-1$  e as fronteiras entre classes são ordenadas e não sobrepostas, se diferenciam a primeira e a última região por ter uma das fronteiras fixas: a cor 0 a região inicial e a cor  $M-1$  (255) a última região. As outras regiões intermediárias têm as duas fronteiras variáveis. Ou seja, temos
  - 1 região inicial da cor 0 à  $f_0$ ,
  - $M-2$  regiões internas da core  $f_k$  à  $f_{k+1}$ , para  $k=0,1,K-2$  e
  - 1 região final da cor  $f_{K-1}$  à  $M-1$ .





O método avalia a qualidade de todas as divisões possíveis (posições das fronteiras entre as classes - regiões), para selecionar a de qualidade máxima. A medida de qualidade  $Q$  vem dada pela fórmula

$$Q = \sum_{h=1}^K P_h (m_h - m_G)^2,$$

onde  $P_k$  é a probabilidade do cluster  $C_k$  dada por

$$P_k = \sum_{i \in C_k} p_i$$

e  $m_k$  é a cor do centroide do cluster  $C_k$ , dada por

$$m_G = \sum_{k=0}^{K-1} P_k \cdot m_k$$

com  $m_G$  sendo a cor média dos pontos, dada por

% pseudo-código para o cálculo de  $Q$

```
function Q = quality(f, K, M, p) {
    for k=1:K {
        m[k]=0 % cor inicial dos clusters
        P[k]=0 % probabilidade dos clusters
    }
    # primeiro cluster
    a=f[0]+1
    for c =0:a { % se não for Python a-1
        P[0]+=p[c]
        m[0]+=c*p[c]
    }
    # ultimo cluster
    b=f[K-2]+1
    for c=[b,M] { % se não for Python M-1
        P[K-1]+=p[c]
        m[K-1]+=c*p[c]
    }
    % clusters intermediarios
    if K>2 {
```

```

d=K-1
for k =1:d { % se não for Python d-1
    a=f[k-1]+1
    b=f[k]+1
    for c=a:b { % se não for Python b-1
        P[k]+=p[c]
        m[k]+=c*p[c]
    }
}
mG=0
for k=0:K { % se não for Python K-1
    mG+=P[k]*m[k]
}
Q=0
for k=0:K {
    Q+=P[k]*(m[k]-mG)^2
}
} % end function

```

A base do método consiste em um algoritmo que percorre “todas” as divisões possíveis do histograma levando em conta a ordem necessária das fronteiras. Os métodos que exploram todas as alternativas possíveis:

1. São chamados de métodos de busca exaustiva
2. Garantem encontrar a melhor solução entre todas as possíveis (convergência global)
3. Sempre realizam o mesmo número de iterações, independentemente da imagem processada. Este número de iterações pode ser estimado a priori (analiticamente), conhecendo o número de cores ( $M$ ) e o número de classes ( $K$ ).

% pseudo-código (não generalizável para qualquer  $K$ )

```

init_time()
Qmax=0
iter=0
for k=0:K-1 { fMax[k]=0 } % python limits
if K==2 {
    for f[0]=0:M-K { % python limits
        iter+=1
        Q=quality(f, K, M, p)
        if Q>Qmax {
            Qmax=Q
            for k=0:K-1 { fMax[k]=f[k] } % python limits
        }
    }
} elseif K==3 {
    for f[0]=0:M-K { % python limits
        for f[1]=f[0]+1:M-(K-1) { % python limits
            iter+=1
            Q=quality(f, K, M, p)
            if Q>Qmax {
                Qmax=Q
                for k=0:K-1 { fMax[k]=f[k] } % python limits
            }
        }
    }
} elseif K==4 {
    for f[0]=0:M-K { % python limits
        for f[1]=f[0]+1:M-(K-1) { % python limits
            for f[2]=f[1]+1:M-(K-2) { % python limits

```

```

        iter+=1
        Q=quality(f, K, M, p)
        if Q>Qmax {
            Qmax=Q
            for k=0:K-1 { fMax[k]=f[k] } % python limits
        }
    }
} % OLHO: estender para K>4 se for preciso
}
time=get_time()
tempo_por_iteração = time/iter % medição do tempo por iteração
% output: tempo_por_iteração e iter

```



### 10.3.6 Multiple thresholds

#### Otsu's method extended to $K$ classes, $C_1, C_2, \dots, C_K$

**Between-class variance:**

$$\sigma_B^2 = \sum_{k=1}^K P_k (m_k - m_G)^2, \quad \text{where } P_k = \sum_{i \in C_k} p_i \quad \text{and} \quad m_k = \sum_{i \in C_k} i p_i$$

**The  $K$  classes are separated by  $K-1$  thresholds whose values  $k_1^*, k_2^*, \dots, k_{K-1}^*$  maximize**

$$\sigma_B^2(k_1^*, k_2^*, \dots, k_{K-1}^*) = \max_{0 < k_1 < k_2 < \dots < k_{K-1} < L-1} \sigma_B^2(k_1, k_2, \dots, k_{K-1})$$

#### Otsu's method extended to three classes, $C_1, C_2, C_3$

**Between-class variance:**

$$\sigma_B^2 = P_1(m_1 - m_G)^2 + P_2(m_2 - m_G)^2 + P_3(m_3 - m_G)^2$$
$$P_1 = \sum_{i=0}^{k_1} p_i, \quad P_2 = \sum_{i=k_1+1}^{k_2} p_i, \quad P_3 = \sum_{i=k_2+1}^{L-1} p_i$$



$$m_1 = \frac{1}{P_1} \sum_{i=0}^{k_1} ip_i, \quad m_2 = \frac{1}{P_2} \sum_{i=k_1+1}^{k_2} ip_i, \quad m_3 = \frac{1}{P_3} \sum_{i=k_2+1}^{L-1} ip_i$$

The following relationships also hold:

$$P_1 m_1 + P_2 m_2 + P_3 m_3 = m_G, \quad P_1 + P_2 + P_3 = 1$$

The three classes are separated by two thresholds whose values  $k_1^*$  and  $k_2^*$  maximize

$$\sigma_B^2(k_1^*, k_2^*) = \max_{0 < k_1 < k_2 < L-1} \sigma_B^2(k_1, k_2)$$

#### Algorithm

- (1) Let  $k_1 = 1$
- (2) Increment  $k_2$  through all its values greater than  $k_1$  and less than  $L - 1$
- (3) Increment  $k_1$  to its next value and increment  $k_2$  through all its values greater than  $k_1$  and less than  $L - 1$
- (4) Repeat until  $k_1 = L - 3$

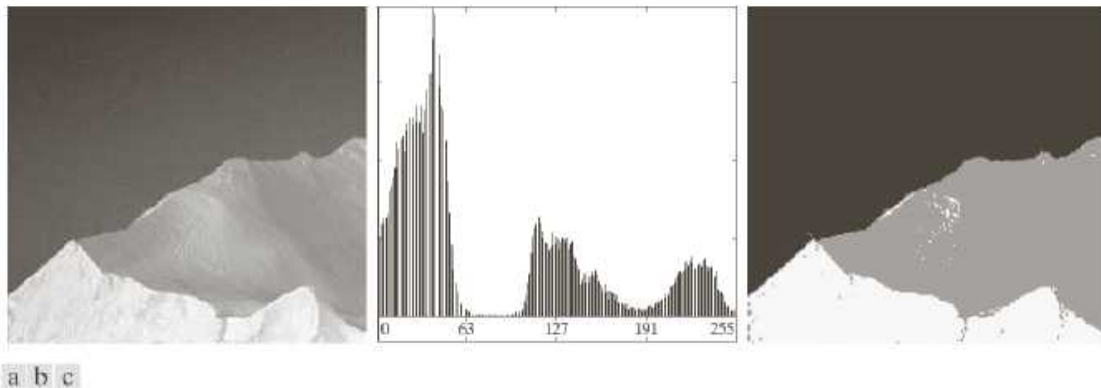
This results in a 2-D array  $\sigma_B^2(k_1, k_2)$ , after which  $k_1^*$  and  $k_2^*$  that correspond to the maximum value in the array, are selected



Segmentation is as follows:  $g(x, y) = \begin{cases} a, & \text{if } f(x, y) \leq k_1^* \\ b, & \text{if } k_1^* < f(x, y) \leq k_2^* \\ c, & \text{if } f(x, y) > k_2^* \end{cases}$

Separability measure:  $\eta(k_1^*, k_2^*) = \frac{\sigma_B^2(k_1^*, k_2^*)}{\sigma_G^2}$

**Example 10.19: Multiple global thresholding**



**FIGURE 10.45** (a) Image of iceberg. (b) Histogram. (c) Image segmented into three regions using dual Otsu thresholds. (Original image courtesy of NOAA.)